

تخمین ظرفیت باربری نوک شمع بر مبنای اطلاعات GMDH با استفاده از شبکه‌های عصبی CPT

مهمنگی عمران شر夫، (پاییز ۱۳۹۲)، دوری ۳، شماره ۳، ص. ۷۱-۸۰

علی قربانی* (استادیار)
دانشکده فنی، دانشگاه گیلان

ابوالفضل اسلامی (دانشیار)
دانشکده مهندسی عمران، دانشگاه صنعتی امیرکبیر
حسن ابراهیمی (دانشجوی کارشناسی ارشد)
دانشکده فنی، دانشگاه گیلان

آزمایش نفوذ مخروط (CPT)^۱ یک مدل کوچک مقیاس شمع است که برای تعیین ظرفیت باربری شمع های واقعی مورد استفاده قرار می‌گیرد. روش گروهی داده گردانی (GMDH)^۲ یک نوع شبکه‌ی عصبی است که ساختار آن توسط الگوریتم زیستیک بهینه ساری شده است. در این تحقیق داده‌های آزمایش بارگذاری استاتیکی و دینامیکی شمع و اطلاعات CPT مجاور آن‌ها جمع‌آوری شد. با کمک این داده‌ها، رابطه‌یی بر مبنای GMDH برای تخمین ظرفیت باربری نوک شمع ارائه و تأثیرات q_E (مقاومت مؤثر نوک مخروط) و f_s (مقاومت غلاف مخروط) در مقاومت واحد نوک شمع بررسی شده است. مقایسه‌های انجام شده با روابط مستقیم تعیین ظرفیت باربری شمع بر مبنای CPT و CPTu نشان دهنده دقت بسیار مناسب رابطه‌یی جدید پیشنهادی برای تخمین ظرفیت باربری نوک شمع است.

ghorbani@guilan.ac.ir
afeslami@yahoo.com
hassan.ebrahimi@gmail.com

واژگان کلیدی: ظرفیت باربری شمع، آزمایش نفوذ مخروط (CPT)، بارگذاری استاتیکی، GMDH.

مقدمه

پیچیدگی وابستگی فاکتورها به هم در چنین مسائلی استفاده از آنالیز رگرسیون را ناممکن و نیاز به روش‌های تحلیلی پیشرفته‌تر را ضروری می‌سازد. از طرفی دیگر، امروزه از شبکه‌های عصبی مصنوعی (ANNs) برای حل مسائل بسیار پیچیده‌یی مهندسی زیوتکنیک نظری روان‌گرایی با موفقیت قابل قبولی استفاده می‌شود.^[۳-۱] برای اولین بار در سال ۱۹۷۱، GMDH بهمنزله‌یی روش تحلیل چندمتغیره برای مدل‌کردن سیستم‌های پیچیده معرفی شد که بدون داشتن داشتن خاصی از سیستم قادر به شناخت الگوهاست.^[۴] هدف اصلی GMDH ساخت مدلی تحلیلی در شبکه‌های یک‌سویه براساس تابع انتقالی گرههای درجه‌ی دوم است که ضرایب آن از طریق روش رگرسیون بدست می‌آیند.^[۵] همچنین استفاده از شبکه‌های خود سامانده باعث کاربرد موفقیت‌آمیز الگوریتمی از نوع GMDH شده است که موجب پیشرفت‌های گسترده‌یی در زمینه‌های علوم مهندسی و اقتصاد شده است.^[۱۰-۵]

در این نوشتار، شبکه‌ی عصبی از نوع GMDH برای تخمین ظرفیت باربری نوک شمع در خاک‌های مخلوط به کارگرفته شده است. براین اساس برای ساخت مدل از دو پارامتر ورودی مهم در دستگاه نفوذ مخروط: ۱. مقاومت نوک مخروط (q_n)؛ ۲. مقاومت غلاف (f_s) استفاده شده است. پارامتر خروجی این شبکه، ظرفیت باربری واحد نوک شمع است. آنالیز حساسیت به دست آمده، تأثیرات پارامترهای ورودی را

تکنون پژوهشگران روابط تئوریک متعددی برای تخمین ظرفیت باربری شمع‌ها پیشنهاد کرده‌اند، ولی با توجه به ماهیت رفتار خاک و عدم قطعیت‌های موجود واضح است که نتایج حاصل از روابط تئوریک به تهابی نمی‌تواند روشی مطمئن برای تعیین ظرفیت باربری شمع باشد. بنابراین استفاده از روابط مبتنی بر نتایج آزمایش‌های صحرابی، راه حل مناسیبی برای این مشکل است. برای نیل به این امر نیز به کارگیری بانک‌های اطلاعاتی جدید و آزمایش روش‌های محاسباتی و تحلیلی جدید ضروری است.

آزمایش نفوذ مخروط (CPT) روشی ساده، سریع، قابل اعتماد، و اقتصادی است که می‌تواند داده‌های پیوسته‌یی را از خاک‌های زیرین فراهم کند. این داده‌ها مقادیر مقاومت نوک مخروط (q_n) و مقاومت غلاف مخروط (f_s) هستند که برای طبقه‌بندی و شناسایی خاک، ارزیابی خصوصیات مقاومتی و تغییرشکل‌پذیری خاک‌ها کاربرد دارند. به دلیل شباهتی که بین نفوذگر مخروطی و شمع وجود دارد، به استفاده از CPT برای تعیین ظرفیت باربری شمع توجه فراوانی شده است.

* نویسنده مسئول
تاریخ: دریافت ۱۸، اصلاحیه ۱۳۹۰، ۵/۱۴، پذیرش ۱۱، اصلاحیه ۱۳۹۰، ۹/۲۹، پذیرش ۱۱، ۱۳۹۱/۲/۱۱.

جدول ۱. خلاصه‌بی از روش‌های مختلف CPT در تعیین مقدار واحد مقاومت نوک شمع.

روش تعیین ظرفیت CPT با بری از طریق	ملاحظات	
Schmertmann & Nottingham, (۱۹۷۸)	محدوده‌ی مؤثر بین AB بالای شمع تا ۷B°، یا ۴B در پایین نوک شمع است.	$r_t = Cq_{ca} < 15 \text{ MPa}$ و مقادیر فیلترشده به روش حداقل سیمیر است.
De Ruiter & Beringen, (۱۹۷۹)	مقدار N_c برای خاک‌های OC, ۵° و برای NC برابر با ۱ است. مقدار N_t ضریب بی‌بعدی است که بین ۱۵-۲۰ است.	$r_t = N_c S_u > 15 \text{ MPa}$ در ماسه: $S_u = q_{ca}/N_K$ در ماسه همانند روش اشمرمن و ناتینگهام [۱۳] است.
Bustamante & Gianeselli, (۱۹۸۲)	میانگین q_{ca} در محدوده‌ی ۱/۵B در بالا و ۱/۵ در پایین شمع است.	$r_t = C_{LCPC} q_{caa} < 15 \text{ MPa}$ که به نوع خاک بستگی دارد.
Mayerhof, (۱۹۸۳)	ضریب اثر مقیاس، C_1 ، ضریب عمق نفوذ در لایه‌ی سخت محدوده‌ی مؤثر بین ۴B بالای شمع تا ۱B در پایین شمع است.	در ماسه: $r_t = q_{ca} C_1 C_2$
Eslami & Fellenius, (۱۹۹۷)	$C_t = 1$ محدوده‌ی مؤثر بین AB بالای شمع تا ۴B پایین شمع است.	$r_t = C_t \cdot q_{Eg}$ میانگین هندسی مقاومت مخروط در محدوده‌ی مؤثر است.

مختلف قرار گرفته است. این روش‌ها را می‌توان به دو گروه روش‌های مستقیم و غیرمستقیم تقسیم‌بندی کرد. در روش غیرمستقیم، ابتدا پارامترهای مکانیکی خاک مانند رازوه‌ی اصطکاک داخلی و ضریب چسبنده‌ی خاک با استفاده از نتایج آزمایش نفوذ مخروط (q_e و f_e) بدست می‌آید. سپس با کمک این پارامترها، ظرفیت باربری نوک شمع با استفاده از روابط استاتیکی تعیین می‌شود. متقابلاً در روش‌های مستقیم بین نتایج آزمایش نفوذ مخروط و ظرفیت باربری نوک شمع رابطه‌ی بی‌مستقیم برقرار می‌شود. تاکنون روابط مستقیم متعددی توسط پژوهشگران مختلف ارائه شده است، مثلاً در سال ۱۹۷۹ روش مستقیم با نام اروپایی،^[۱۱] در سال ۱۹۸۲ روش دیگری با عنوان LCPC^[۱۲] و همچنین روش‌های مستقیم دیگری پیشنهاد داده شد که خلاصه‌ی از آن‌ها در جدول ۱ ارائه شده است.^[۱۳] بررسی‌های انجام‌شده نشان داده است که این روش‌ها دقیق نسبتاً بالاتری در مقایسه با روش‌های صحرایی دیگر (نظیر روش SPT) دارند.^[۱۴-۱۶] با وجود این، روش‌های مذکور به دلیل درنظرنگرفتن اثر فشار آب حفره‌ی اشکالاتی هم دارند، که پژوهشگران سعی کرده‌اند با استفاده از نتایج آزمایش CPTu آن‌ها را برطرف کنند. در سال ۱۹۹۷ نیز روشی مستقیم ارائه شده که در آن اثر پارامتر (w)، فشار آب حفره‌ی در شانه‌ی مخروط باری محاسبه‌ی ظرفیت باربری نوک شمع لحاظ شده است.^[۱۷]

نرم افزار UniCone

UniCone نرم افزاری برای پردازش و گزارش نتایج آزمایش نفوذ مخروط CPT و CPTu است. این برنامه دارای قابلیت نمایش نتایج آزمایش نفوذ مخروط (مقاومت نوک، مقاومت جداره، اضافه فشار آب حفره‌ی، و نسبت اصطکاک) به صورت گرافیکی است. این نرم افزار قادر به تفکیک و شناسایی خاک و همچنین تعیین ظرفیت باربری نوک و جداره‌ی شمع از طریق روش‌های مستقیم است.^[۱۸] در این نوشتار، برای محاسبه‌ی ظرفیت باربری نوک شمع براساس روش‌های مستقیم موجود از این نرم افزار استفاده شده است.

در پارامتر خروجی نشان می‌دهد. نهایتاً این روش با روش‌های مستقیم اندازه‌گیری ظرفیت باربری براساس نتایج CPT مقایسه و نشان داده شد که روش پیشنهادی، ظرفیت باربری واحد نوک شمع را با دقیق مناسب محاسبه می‌کند.

مرور روش‌های موجود برای تعیین ظرفیت باربری نوک شمع

ظرفیت باربری شمع از دو قسمت مقاومت نوک (Q_t) و مقاومت جداره (Q_s) تشکیل شده است، که معادله‌ی عمومی آن مطابق فرمول ۱ است:

$$(1) Q_u = Q_t + Q_s = r_t \times A_t + \sum_{i=1}^n f_i \times A_{si}$$

که در آن، r_t واحد مقاومت نوک شمع، A_t سطح مقطع نوک شمع، f_i میانگین واحد مقاومت جداره در لایه‌ی i ام، A_{si} سطح واحد جداره در لایه‌ی i ام، و n تعداد لایه‌های خاک در امتداد و طول شمع هستند. روش‌های مختلفی برای تعیین ظرفیت باربری نوک شمعها وجود دارند که می‌توان آن‌ها را به ۴ دسته شامل روش‌های: استاتیکی، دینامیکی (باری تعیین ظرفیت باربری استاتیکی)، مبتنی بر آزمایش بارگذاری استاتیکی، و نتایج آزمایش‌های صحرایی (نظیر CPT) تقسیم‌بندی کرد.

در روش‌های استاتیکی، فرم کلی رابطه‌ی ظرفیت باربری نوک شمع مشابه رابطه‌ی سه جمله‌بی ظرفیت باربری پی‌های سطحی است. پژوهشگران با فرض سطح شکست مختلف در ناحیه‌ی نوک شمع، روابط استاتیکی مختلفی برای محاسبه‌ی ظرفیت باربری نوک شمع ارائه کرده‌اند که ثابت اصلی آن‌ها در مقدار فاکتورهای بعد ظرفیت باربری است. ظرفیت باربری استاتیکی واقعی شمع در محل را می‌توان با کمک آزمایش دینامیکی شمع (PDA) و تحلیل با روش انتساب سیکنال (CAPWAP) و یا آزمایش بارگذاری استاتیکی و تحلیل با روشی مناسب مانند روش حدی داویسون بدست آورد. در چند دهه‌ی اخیر، استفاده از روش‌های مبتنی بر نتایج آزمایش نفوذ مخروط (CPT) به مبنای مکمل روش‌های تحلیل استاتیکی مورد توجه پژوهشگران

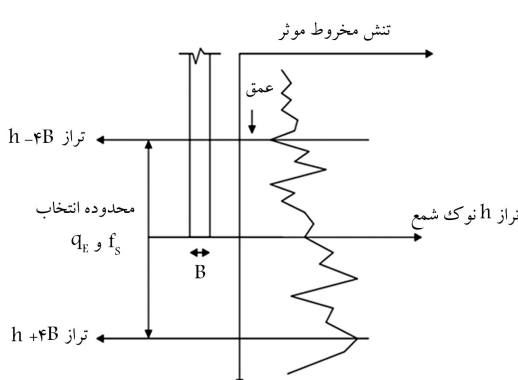
در روش بوساتماته و جیانسلی (۱۹۸۲) [۱۲] محدودهٔ مؤثر در $1/5B$ در بالا و $1/5B$ پایین نوک شمع قرار دارد که در نظرگرفتن این محدوده بهمنزلهٔ محدودهٔ مؤثر ممکن است به تخمینی اشتباه منجر شود. نکتهٔ حائز اهمیت این است که میان شمع‌هایی که از خاک سخت وارد خاک‌های سخت و یا از خاک سخت وارد لایهٔ سست می‌شوند، هیچ‌گونه تغییری در انتخاب محدودهٔ مؤثر ایجاد نشده و از محدوده‌های مؤثر یکسان استفاده شده است.

محدوده‌بی که در این تحقیق بهمنزلهٔ محدودهٔ مؤثر در نظرگرفته شده است، $4B$ در بالا و پایین نوک شمع است که در شکل ۲ نشان داده شده است. این محدوده برای همهٔ شمع‌ها یکسان در نظرگرفته شد و در شرایطی که شمع از لایهٔ سست عبور کرده و وارد لایهٔ سخت می‌شود و همچنین بر عکس، هیچ‌گونه تغییری در محدودهٔ مؤثر به وجود نمی‌آید. همچنین ذکر این نکته مهم است که برخلاف بیشتر روش‌ها که فقط از پارامتر مقاومت نوک مخروط (q_c) استفاده می‌کنند، پارامترهای اضافه فشار آب حفره‌ی در شانهٔ مخروط (f_a) و مقاومت غلاف مخروط (f_s) که جنبهٔ مهمی از اطلاعات CPT و شناسایی خاک محسوب می‌شوند، نیز می‌توانند در اندازه‌گیری مقاومت نوک شمع مؤثر باشند، که از آن‌ها در مدل سازی استفاده شده است. گسترده‌گی محدودهٔ مؤثر انتخابی از روش بوساتماته و جیانسلی (۱۹۸۲) [۱۲] بیشتر است به این دلیل که مطالعات Altaee (۱۹۹۲) نشان داد که محدودهٔ مؤثر در $5B$ (قطر شمع است) بالای نوک شمع تا $5B$ پایین تراز نوک شمع برای شمع های بتنی در خاک‌های یکنواخت و نیمهٔ متراکم ماسه‌بی است و بنابراین شمع‌هایی که نوک آن‌ها بر روی لایهٔ ضعیف در محدودهٔ نوک شمع بنا نهاده شده است، با کاهش مقاومت نوک همراه است.

معمولًاً نودار مقاومت مخروط صحرابی دارای یک سری نقاط کمیمه و بیشینه است که این مقادیر پاسخی از مخروط به شرایط محیط هستند و نمی‌توان آن‌ها را به شمعی با سایز چندین برابر قطر مخروط ارتباط داد. بنابراین برای به‌دست آوردن مقاومت واحد نوک شمع فیلترسازی اطلاعات CPT ضروری است. بدون فیلترکردن داده‌ها، میانگین حسابی بهشت تحت تأثیر قرار می‌گیرد. میانگین حسابی مقاومت نوک مخروط از رابطهٔ ۳ محاسبه می‌شود:

$$q_{ca} = \frac{q_{c1} + q_{c2} + q_{c3} + \dots + q_{cn}}{n} \quad (3)$$

که در آن، q_{ca} میانگین حسابی مقادیر مقاومت نوک مخروط، $q_{c1}, q_{c2}, q_{c3}, \dots, q_{cn}$ مقاومت‌های نوک مخروط اندازه‌گیری شده در محدودهٔ مؤثر و n تعداد کل داده‌های مقاومت نوک مخروط در محدودهٔ مؤثر است.



الگوی گسیختگی و محدودهٔ مؤثر (گسیختگی) در تحلیل مقاومت نوک

یکی از مشکلاتی که در استفاده از روش‌های مستقیم وجود دارد، انتخاب محدودهٔ مؤثر مقاومت نوک مخروط در تعیین مقاومت واحد نوک شمع است. از این رو ضروری است که نوع و منطقهٔ گسیختگی مشخص شود. به حال مدرک خاصی مبنی بر اینکه نوع گسیختگی از نوع پانج یا برشی ساده است، وجود ندارد. باید توجه داشت که محدودهٔ گسیختگی در بالا و پایین نوک شمع با قطر شمع کترل می‌شود و مقدار محدوده باید به صورت تابعی از این قطر باشد.

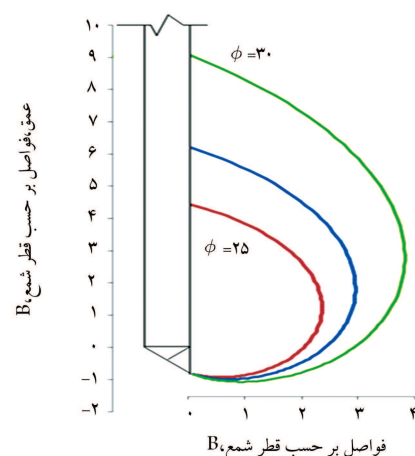
یک الگوی گسیختگی به صورت مارپیچ لگاریتمی مطابق معادلهٔ ۲ ارائه داده‌اند که مطابق آن گسیختگی به بدنهٔ شمع می‌رسد.

$$r = r_0 \times e^{\theta t g \phi} \quad (2)$$

که در آن، r شعاع مارپیچ لگاریتمی برای $\theta = 0$ (هم اندازهٔ قطر نفوذگر مخروط فرض شده است)، θ زاویهٔ بین شعاع و r و ϕ زاویهٔ بین شعاع و عمود در هر نقطه بر مارپیچ لگاریتمی (هم اندازهٔ زاویهٔ اصطکاک داخلی خاک فرض شده) است.

چنانچه زاویهٔ اصطکاک داخلی 25° تا 30° در نظرگرفته شود، محدودهٔ گسیختگی در بالای شمع بین $9B - 4B$ و در پایین شمع بین $1/5B - 1/1B$ به دست می‌آید (شکل ۱). در معادله‌های مقاومت نوک باید از میانگین مقاومت نوک مخروط در محدودهٔ مؤثر (گسیختگی) استفاده شود و روش مفید برای در نظرگرفتن این محدوده، روش مارپیچ لگاریتمی است. برخلاف خاک‌های یکنواخت، در خاک‌های غیر یکنواخت مقدار این میانگین کاملاً به محدودهٔ مؤثر در نظر گرفته شده وابسته است.

در روش اشمرتین (۱۹۷۸) [۱۳] و ناتینگهام (۱۹۷۵) [۱۴] محدودهٔ مؤثر در بالای نوک شمع AB است که می‌تواند برای شمع‌هایی که از لایهٔ سست عبور می‌کنند و به لایهٔ مقاوم می‌رسند، منطقی باشد. این مقدار برای شمع‌هایی که از خاک‌های سخت عبور می‌کنند و وارد لایهٔ ضعیف می‌شوند، غیرمنطقی به نظر می‌رسد و ممکن است گمراه‌کننده باشد. روش یونیکون برای چنین حالتی، محدودهٔ مؤثر را $2B$ در بالای نوک شمع و AB در پایین نوک شمع پیشنهاد می‌دهد.



در شکل اصلی و پایه‌یی الگوریتم GMDH، تمامی نمونه‌ها از n متغیر ورودی ساخته می‌شوند و ضرایب مجھول کلیه‌ی نمونه‌ها با استفاده از روش مربعات کمینه به دست می‌آیند. بنابراین $\frac{n(n-1)}{2} = \frac{n(n-1)}{2}$ نمونه در اولین لایه‌ی مخفی به صورت مجموعه زیر ساخته می‌شوند (رابطه‌ی ۱۱).

$$\{(y_i, x_{1p}, x_{1q}), (i=1, 2, \dots, M) \& p, q \in (1, 2, \dots, n)\}. \quad (11)$$

بنابراین در معادله‌ی ۹ برای هر M ردیف سه‌تایی به صورت زیر است:

$$\begin{bmatrix} x_{1p} & x_{1q} & \vdots & y_1 \\ x_{2p} & x_{2q} & \vdots & y_2 \\ \dots & \dots & \dots & \dots \\ x_{Mp} & x_{Mq} & \vdots & y_M \end{bmatrix}. \quad (12)$$

برای هر ردیف می‌توان معادلات را به صورت ماتریسی (رابطه‌ی ۱۳) بیان کرد:

$$Aa = y. \quad (13)$$

که در آن a بردار ضرایب مجھول چندجمله‌یی درجه‌ی دوم در معادله‌ی ۹ است.

$$a = \{a_0, a_1, \dots, a_5\}. \quad (14)$$

$$y = \{y_1, y_2, \dots, y_M\}^T. \quad (15)$$

به راحتی رابطه‌ی ۱۶ قابل مشاهده است:

$$\begin{bmatrix} 1 & x_{1p} & x_{1q} & x_{1p}x_{1q} & x_{1p}^2 & x_{1q}^2 \\ 1 & x_{2p} & x_{2q} & x_{2p}x_{2q} & x_{2p}^2 & x_{2q}^2 \\ \dots & \dots & \dots & \dots & \dots & \dots \\ 1 & x_{Mp} & x_{Mq} & x_{Mp}x_{Mq} & x_{Mp}^2 & x_{Mq}^2 \end{bmatrix}. \quad (16)$$

روش کمترین مربعات از آنالیز رگرسیون چند متغیره^۳ حل معادلات را به صورت رابطه‌ی ۱۷ می‌دهد:

$$a = (A^T A)^{-1} A^T \quad (17)$$

از این طریق می‌توان بردار ضرایب مجھول چندجمله‌یی معادله‌ی ۹ را برای مجموعه‌ی M ردیف سه‌تایی محاسبه کرد. لازم به ذکر است که این روند برای هر نمونه در لایه‌ی مخفی بعدی با توجه به شکل و ساختار شبکه‌ی عصبی تکرار می‌شود، ولی به هر حال در این روش احتمال بروز خطای ناشی از گردد کدن خطاهای و مهم‌تر اینکه احتمال تکینگی^۴ در معادلات وجود دارد.

تجزیه‌ی مقادیر منفرد (SVD)^۵ روشی برای حل مسائل کمترین مربعات است، که در آن‌ها احتمال بروز تکینگی وجود دارد.^[۲۶] از این روش برای محاسبه‌ی بهینه‌ی بردار ضرایب چندجمله‌یی درجه‌ی دوم استفاده می‌شود.

کاربرد الگوریتم ژنتیک در طراحی ساختار شبکه‌ی عصبی نوع GMDH

براساس آنچه که در تاریخچه‌ی ادبیات فنی آمده است روش‌های انتخاب اتفاقی همانند الگوریتم ژنتیک که برای آموزش شبکه‌های عصبی استفاده می‌شوند، عملکرد

میانگین حسابی فقط می‌تواند برای خاک‌های یکنواخت مفید باشد. در مقابل در صورت استفاده از میانگین هندسی (مطابق رابطه‌ی ۴) تأثیر مقادیر بیشینه‌ها و کمینه‌ها به کمترین حد می‌رسد.^[۱۸]

$$q_{cg} = (q_{c1} \times q_{c2} \times q_{c3} \times \dots \times q_{cn})^{\frac{1}{n}} \quad (4)$$

که در آن، q_{cg} میانگین هندسی مقادیر مقاومت نوک مخروط است. بنابراین در صورت استفاده از روش میانگین‌گیری اخیر نیازی به فیلتر کردن اطلاعات نیست.

مدل‌سازی با شبکه‌های عصبی از نوع GMDH

با الگوریتم GMDH مدل‌هایی که حاوی مجموعه‌یی از نمونه‌ها می‌شوند، به وجود می‌آیند. این نمونه‌ها از طریق یک چندجمله‌یی درجه‌ی دو به هم مرتبط‌اند و باعث تولید نمونی جدید در لایه‌ی بعدی می‌شوند. هدف اصلی این شبکه بافت تابع تقریبی f با خروجی \hat{y} برای مجموعه‌یی از ورودی‌های $(x_1, x_2, x_3, \dots, x_n)$ با $x = (x_1, x_2, x_3, \dots, x_n)$ با خروجی y برای مجموعه‌یی از ورودی‌های (y_1, y_2, \dots, y_M) با $y = (y_1, y_2, \dots, y_M)$ می‌شود. بنابراین برای M داده‌ی آزمایشگاهی شامل n ورودی و یک خروجی، مقدار واقعی خروجی (y_i) به صورت رابطه‌ی ۵ است:

$$y_i = f(x_{i1}, x_{i2}, x_{i3}, \dots, x_{in}), \quad i = 1, 2, \dots, M. \quad (5)$$

در مرحله‌ی آموزش شبکه، مقادیر خروجی‌های \hat{y}_i براساس رابطه‌ی ۶ به دست می‌آیند:

$$\hat{y}_i = \hat{f}(x_{i1}, x_{i2}, x_{i3}, \dots, x_{in}), \quad i = 1, 2, \dots, M. \quad (6)$$

در این مرحله باید مربع خطای بین مقادیر واقعی و مقادیر آموزش‌دیده کمینه شود (رابطه‌ی ۷):

$$\sum_{i=1}^M [\hat{f}(x_{i1}, x_{i2}, x_{i3}, \dots, x_{in}) - y_i]^2 \rightarrow \text{Min.} \quad (7)$$

ارتباط بین متغیرهای ورودی و خروجی را می‌توان به صورت چندجمله‌یی پیچیده بیان کرد (رابطه‌ی ۸):

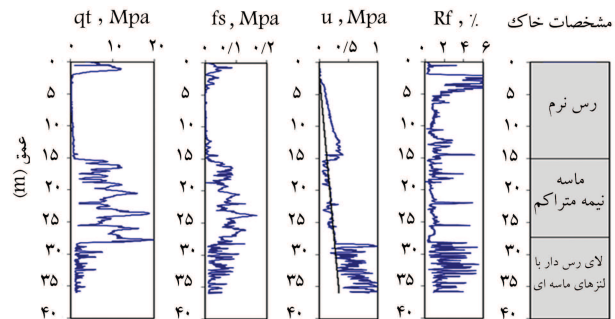
$$y = a_0 + \sum_{i=1}^n a_i x_i + \sum_{i=1}^n \sum_{j=1}^n a_{ij} x_i x_j + \sum_{i=1}^n \sum_{j=1}^n \sum_{k=1}^n a_{ijk} x_i x_j x_k. \quad (8)$$

ولی به هر حال شکل درجه‌ی دوم و دومتغیره‌ی آن بیشترین کاربرد را دارد که به صورت رابطه‌ی ۹ استفاده می‌شود:

$$\hat{y} = G(x_i, x_j) = a_0 + a_1 x_i + a_2 x_j + a_3 x_i x_j + a_4 x_i^2 + a_5 x_j^2 \quad (9)$$

ضرایب a_i در معادله‌ی ۹ با روش‌های رگرسیون به‌گونه‌یی حل می‌شوند که اختلاف بین خروجی واقعی (y) و مقادیر محاسبه‌شده (\hat{y}) برای هر جفت متغیر ورودی x_i و x_j ، کمینه شود.^[۶-۴] بنابراین ضرایب مجموعه‌یی از چندجمله‌یی‌های درجه‌ی دو براساس معادله‌ی ۹ محاسبه می‌شوند. به همین صورت برای هر تابع G (هر نمونه ساخته شده)، ضرایب برای کمینه کردن خطای کل نمونه‌ها برای بهینه‌شدن ورودی‌ها بر تمام جفت مجموعه‌های ورودی- خروجی به دست می‌آیند (رابطه‌ی ۱۰).

$$E = \frac{\sum_{i=1}^M (y_i - G_i)^2}{M} \rightarrow \text{Min.} \quad (10)$$

شکل ۴. نمونه‌بی از اطلاعات CPTu^[۲۷]

و هشت ضلعی) هستند و روش اجرای آن‌ها به ۲ صورت کویندی و درجاست. طول شمع‌ها بین ۶ تا ۳۵ متر، و قطر آن‌ها بین ۸۰۰ میلی‌متر متغیر است. خاک سایت‌ها مشتمل بر نهشته‌های رسی نرم، رس سخت، سیلت، و ماسه‌ی نرم و متراکم هستند. نوک و جداره‌ی شمع‌ها ابرازگذاری شده‌اند و به این ترتیب مقاومت نوک (r_t) تمامی شمع‌ها موجودند. ملاحظه می‌شود که r_t بین $\frac{1}{3}$ تا $\frac{3}{5}$ مگاپاسکال متغیر است، که نشان‌دهنده‌ی تغییرات وسیع مقاومتی خاک در این بانک اطلاعاتی است. از ۱۹ آزمایش (۶۷٪/داده‌ها) برای آموزش شبکه و ارزاقیمانده‌ی داده‌ها (۱۰ مورد) برای آزمون مدل استفاده شده است.

در تمامی سایت‌ها، آزمایش نفوذ مخروط (CPT) در مجاورت شمع‌های ابرازگذاری شده برای تعیین مشخصات خاک اجرا شده است. یک نمونه آزمون UBC(۳)، CPTu در شکل ۴ نشان داده شده است.

مدل‌سازی مقاومت نوک شمع با استفاده از شبکه‌ی عصبی از نوع GMDH

آموزش شبکه بر مبنای ۱۹ آزمایش ابرازگذاری واقعی شمع انجام شده است. پارامترهای GMDH ورودی مدل شامل q_E و f_s و پارامتر خروجی r_t هستند. چون طراحی به صورت زنگی است، از تعداد ۲۵۰ نسل و جمعیت و احتمال پیوند $7/0$ و احتمال جهش $7/0$ در این نوشتار استفاده شده است. با افزایش جمعیت پیشرفته در جهت دقت بیشتر حاصل نشد. ساختار ارائه شده در این نوشتار متشکل از ۲ لایه مخفی است که در شکل ۵ نشان داده شده است.

با توجه به شکل ۵، رابطه‌ی چندجمله‌ی مقاومت واحد نوک شمع به این صورت بدست می‌آید (رابطه‌های ۱۸الف و ۱۸ب):

$$\begin{aligned} Y_1 &= (0,521712463530819) + (0,802234360301321) \times (q_E) \\ &\quad + (-0,555162534288506) \times (f_s) + (0,008762690402031) \\ &\quad \times (q_E)^2 + (-19,9087698291182) \times (f_s)^2 \\ &\quad + (-0,459425691542058) \times (q_E) \times (f_s) \end{aligned} \quad (۱۸الف)$$

$$\begin{aligned} Y_1 &= (0,043080247000181) + (-0,078253105225317) \\ &\quad \times (f_s) + (0,986108102673899) \times (Y_1) \\ &\quad + (-0,19262388953416) \times (f_s)^2 + (0,000350757189766) \\ &\quad \times (Y_1)^2 + (0,030930539683689) \times (f_s) \times (Y_1) \end{aligned} \quad (۱۸ب)$$

بهتری را نسبت به روش‌های قطعی دارند.^[۹] در این تحقیق از الگوریتم زنگی برای طراحی شبکه‌ی GMDH استفاده می‌شود. تحقیقات نشان می‌دهد که نلاش‌های گستردگی در استفاده از روش‌های تکاملی برای طراحی ساختار و یا تعیین ضرایب مجھول به صورت جداگانه انجام پذیرفته است.^[۲۷] در بیشتر شبکه‌های عصبی نوع GMDH، نمونه‌ها در هر لایه فقط با نمونه‌های لایه‌ی قبل در ارتباط هستند.^[۹] برای این نوع شبکه‌های عصبی، روشی ساده برای کدگذاری جمعیت‌ها در فضای جستجو در مرجع پیشنهاد شده است.^[۹] این شبکه‌ی عصبی متداول^۶ اصطلاحاً CS-GMDH نامیده می‌شود.

شبکه‌های عصبی نوع GS-GMDH

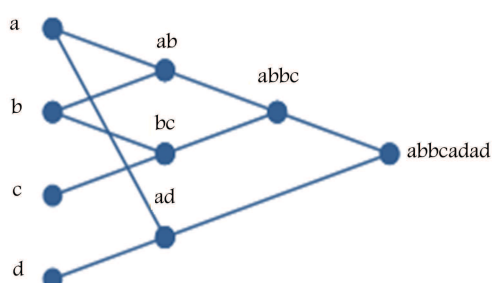
در این تحقیق از شبکه‌ی عصبی نوع GS-GMDH استفاده شده است، که در آن برخلاف شبکه‌ی GMDH قید استفاده از لایه‌ی مجاور در تولید نمونه جدید حذف شده است. بنابراین برای ساخت لایه‌ی جدید می‌توان از تمامی نمونه‌های لایه‌های قبل استفاده کرد. در شکل ۳ ساختار یک کروموزوم تولیدشده در شبکه‌ی عصبی نوع GS-GMDH نشان داده شده است.

مشاهده می‌شود که نمونه ad در اولین لایه مخفی مستقیماً به خروجی با دومین لایه مخفی ترکیب شده است. بنابراین برای نام‌گذاری نمونه خروجی، نام نمونه چهشیافت (ad) را ۲ بار تکرار می‌کنیم که به صورت abbcadad است. در برخی موارد ممکن است که نمونه از تعداد لایه‌های بیشتری چهش کند، که در آن صورت تعداد تکرار نمونه با طول کوچک‌تر برابر 2^n است، که n نشان‌دهنده‌ی تعداد لایه‌هایی است که نمونه از آن‌ها چهش کرده است. به سادگی قابل تشخیص است که کروموزوم‌هایی همانند acacabadab برخلاف ababacbc غیرقابل قبول‌اند و به راحتی می‌توان آن‌ها را به صورت acad نمایش داد.

با بهکارگیری عملگرهای شبکه‌ی عصبی و معیار انتخابی چرخ رولت، تمام جمعیت‌های رشته‌ی اولیه به تدریج بهینه می‌شوند. به طورکلی فرمول طول نمونه 2^{Hl+1} (Hl تعداد لایه‌های مخفی است)، ارتباط بین طول نمونه و تعداد لایه‌های مخفی را نشان می‌دهد؛ بنابراین شبکه‌یی که دارای ۲ لایه مخفی است، نمونی با طول $8 = 2^3$ است.

بانک اطلاعاتی

برای سطح رابطه‌ی ظرفیت بار بری نوک شمع، اطلاعات مربوط به ۲۹ آزمون ابرازگذاری تمام مقیاس شمع جمع‌آوری شد. در جدول ۲، خلاصه‌ی از اطلاعات جمع‌آوری شده نشان داده شده‌اند. شمع‌ها از جنس فازی (لوهی، H شکل) و بتنی (مدور مربعی



شکل ۳. ساختار کروموزوم شبکه‌ی نوع GS-GMDH

جدول ۲. خلاصه‌بی از داده‌های جمع‌آوری شده.

ردیف	مورد عملی	مرجع	قطع شمع (میلی متر)	طول مدفون شمع (متر)	شكل، نوع نصب و جنس شمع	روش انجام آزمایش (Mpa)
۱	NWUP	[۲۸]	۴۵۰ و ۹/۵	۱۵/۲	لوله‌یی، کوبیدنی، فازی	استاتیکی ۰,۳۹
۲	T۱	[۲۹]	۶۰۰	۶	مدور، درجا، بتی	استاتیکی ۱,۷۶۷
۳	E۹	[۲۹]	۶۰۰	۶	مدور، درجا، بتی	استاتیکی ۱,۷۶۷
۴	Grimsby	[۳۰]	۶۰۰	۱۱/۵	مدور، درجا، بتی	استاتیکی ۱,۷۶۷
۵	UBC۵	[۳۱]	۳۲۴ و ۱۱/۵	۲۱/۱	لوله‌یی، کوبیدنی، فازی	استاتیکی ۲,۱۹۵
۶	T۲	[۲۹]	۶۰۰	۶	مدور، درجا، بتی	دینامیکی ۲,۲۳۷
۷	USPB۲	[۳۲]	۴۰۰	۹/۴	مدور، درجا، بتی	استاتیکی ۲,۴۶
۸	UBC۳	[۳۱]	۳۲۴ و ۹/۵	۱۶/۸	لوله‌یی، کوبیدنی، فازی	استاتیکی ۳,۳۸۱
۹	UHUC۱	[۳۳]	۲۷۳ و ۹	۱۳	لوله‌یی، کوبیدنی، فازی	استاتیکی ۴,۰۶۸
۱۰	UHUC۱۱	[۳۳]	۲۷۳	۱۳	لوله‌یی، کوبیدنی، فازی	استاتیکی ۴,۱۵۳
۱۱	BGHD۱	[۲۵,۲۴]	۲۸۵	۱۱	مربعی، کوبیدنی، بتی	استاتیکی ۴,۴۴۴
۱۲	TWNTP۶	[۳۴]	۶۰۹ و ۱۲	۳۴,۲۵	لوله‌یی، کوبیدنی، فازی	استاتیکی ۵,۶۷
۱۳	BGHD۲	[۲۵,۲۴]	۲۸۵	۱۵	مربعی، کوبیدنی، بتی	استاتیکی ۵,۹۲۶
۱۴	FHWASF	[۳۵]	۲۷۳ و ۹/۱	۹/۲	لوله‌یی، کوبیدنی، فازی	استاتیکی ۶,۰۱۷
۱۵	C°	[۲۹]	۳۵۰	۶	مربعی، کوبیدنی، بتی	دینامیکی ۶,۱۷۱
۱۶	Axelsson	[۳۶]	۲۳۵	۱۹	مربعی، کوبیدنی، بتی	دینامیکی ۸,۲۳۹
۱۷	A&N۲	[۳۵]	۴۵۰	۱۳,۷۵	مربعی، کوبیدنی، بتی	استاتیکی ۹,۳۶
۱۸	POLA۱	[۳۷]	۶۰۰	۲۵/۸	هشت ضلعی، کوبیدنی، بتی	استاتیکی ۱۳,۱۵
۱۹	JPNOT۱	[۳۸]	۸۰۰ و ۱۲/۱	۸/۲(L=۱۱)	لوله‌یی، کوبیدنی، فازی	استاتیکی ۲۹,۲۶۸
۲۰	NWUH	[۲۸]	۳۷۱ × ۳۴۶	۱۵/۲	شکل H، کوبیدنی، فازی	استاتیکی ۰,۳۹۱
۲۱	E۲	[۲۹]	۶۰۰	۶	مدور، درجا، بتی	دینامیکی ۲,۱۸۴
۲۲	USPB۱	[۳۲]	۳۵۰	۹/۴	مدور، درجا، بتی	استاتیکی ۲,۵
۲۳	MP۱	[۳۹]	۳۶۸ × ۴۰۰	۱۴	شکل H، کوبیدنی، فازی	استاتیکی ۴,۳۴۸
۲۴	TWNTP۴	[۳۴]	۶۰۹ و ۱۲	۳۴,۲۵	لوله‌یی، کوبیدنی، فازی	استاتیکی ۵,۴۹۸
۲۵	C۱	[۲۹]	۳۵۰	۶	مربعی، کوبیدنی، بتی	دینامیکی ۵,۶۹۱
۲۶	A&N۱	[۴۰]	۴۵۰	۱۴	مربعی، کوبیدنی، بتی	دینامیکی ۷,۳۸۹
۲۷	MUMA۸	[۴۱]	۲۷۳ و ۵/۶	۱۲/۲	لوله‌یی، کوبیدنی، فازی	استاتیکی ۹,۰۵۱
۲۸	POLA۲	[۴۲]	۶۰۰	۲۲/۶	هشت ضلعی، کوبیدنی، بتی	استاتیکی ۱۱,۵۵۸
۲۹	KP۱	[۳۹]	۳۶۸ × ۴۰۰	۱۴	شکل H، کوبیدنی، فازی	استاتیکی ۲۱,۷۳۹

از رابطه‌های پیشنهادی ۱۸ با مقادیر واقعی مقایسه شده‌اند. نتایج به دست آمده، نشان‌دهنده‌ی سازگاری بسیار مناسب برای هر ۲ مرحله‌ی آموزش و آزمون است. مشاهده می‌شود که رابطه‌ی پیشنهادی می‌تواند مقادیر ظرفیت باربری شمع‌های را که در مرحله‌ی آموزش وجود نداشتند، با خطای نسبتاً کمی پیش‌بینی کند. مقدار ضریب همبستگی (^۲) برای دسته‌ی آموزش ۹۸ ° و برای آزمون ۸۷ ° است.

$$\begin{aligned}
 r_t = & (-۰,۴۲۲۷۰۰۰۰ ۱۵۲۶۶۲۵) + (-۰,۳۷۴۵۰ ۱۱۷۲۱۲۴۲۷۲) \\
 & \times (q_E) + (۱,۵۶۷۶۶۸۱۲۱۷۲۰۷۲) \times (Y_t) \\
 & + (۰,۳۱۸۴۵۹۶۲۵۵۸۳۲۴۱) \times (q_E)^t + (۰,۳۹۰۵۷۷۷۴۱۳۱۳۷۷) \\
 & \times (Y_t) \times (q_E)^t + (-۰,۷۱۶۲۵۷۷۷۰ ۱۷۳۴۴۸) \times (Y_t)^t + (-۰,۷۱۶۲۵۷۷۷۰ ۱۷۳۴۴۸) \\
 & \text{در شکل ۶ مقادیر محاسبه شده‌ی ظرفیت باربری واحد نوک شمع با استفاده}
 \end{aligned}$$

همانگونه که قبلاً اشاره شد، در بیشتر روش‌ها از مقاومت نوک مخروط برای تعیین مقاومت نوک شمع استفاده می‌شود. آنالیز حساسیت انجام شده نشان می‌دهد که با افزایش مقدار q_E واحد مقاومت نوک افزایش می‌یابد. تغییرات مقدار f_s تأثیر زیادی در مقدار واحد مقاومت نوک ندارد که این تأثیر در مقادیر بالای q_E بیشتر مشخص می‌شود. قابل ذکر است که برای ارزیابی بیشتر تأثیرات مقادیر q_E و f_s باید از داده‌های بیشتری که محدوده‌هایی بیشتر از این پارامترها را در بر می‌گیرند، در مدل‌سازی استفاده کرد.

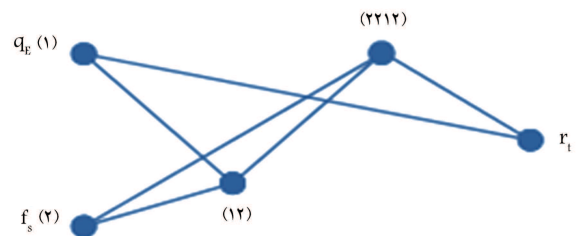
ارزیابی نتایج حاصله

برای بررسی بیشتر دقت روش پیشنهادی، مقایسه‌ی با ۵ روش مستقیم گذشته شامل روش‌های دی روپرتو و برینگن،^[۱۱] بوستامانه و جیانسلی،^[۱۲] مایرهوف،^[۱۳] اشمرتمن و ناتینگهام،^[۱۴] و یونیکون^[۱۵] انجام شده است.

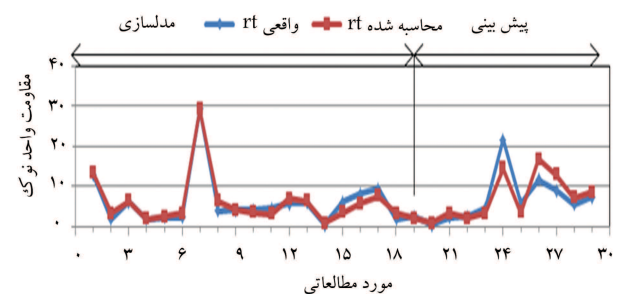
نتایج مقایسه‌های انجام شده در شکل ۸ نشان داده شده است. واضح است که هر چه مقداری به خط ۱:۱ نزدیک باشند، پراکنده‌گی کمتری دارند. انحراف استاندارد و میانگین نیز برای ارزیابی روش‌های مختلف بر روی شکل‌ها ذکر شده است. مشاهده می‌شود که تقریباً تمامی مقادیر پیش‌بینی شده با مدل پیشنهادی و روش UniCone در داخل و یا نزدیک محدوده $\pm 2\%$ قرار می‌گیرند؛ در حالی که نتایج سایر روش‌ها غالباً خارج محدوده فوق هستند. در جدول ۳ مقادیر ضریب همبستگی (r^2)، جذر میانگین مربعات خطای (RMSE)، و میانگین روش‌های مختلف با یکدیگر مقایسه شده است. نتایج بیان‌گر برتری رابطه‌ی یونیکون^[۱۶] و پیشنهادی نسبت به سایر روابط هستند. مقادیر ضریب همبستگی و جذر میانگین مربعات خطای برای رابطه‌ی پیشنهادی به ترتیب 0.938 و 0.197 است. این مقادیر برای رابطه‌ی UniCone به ترتیب 0.943 و 0.199 هستند، که اندکی نتایج بهتری را نسبت به روش پیشنهادی نشان می‌دهند. در مقایسه‌ی مقادیر ضریب همبستگی و جذر میانگین مربعات خطای، روش مایرهوف^[۱۷] بعد از این ۲ روش نتایج نسبتاً خوبی را ارائه می‌دهد.

همانگونه که در شکل ۸ مشاهده می‌شود، در روش بوستامانه و جیانسلی^[۱۲] تقریباً تمامی نقاط در زیر خط ۱:۱ قرار گرفته‌اند، که نشان می‌دهد بیشتر پیش‌بینی‌ها کمتر از مقدار واقعی صورت گرفته است. مقدار میانگین برای این روش 0.690 است که مؤید تخمین کمتر از مقادیر واقعی برای روش مذکور است.

روش دیگری که جهت مقایسه ارائه شده است، نمودار لگاریتم نرمال نسبت مقادیر واحد مقاومت نوک تخمین زده شده به اندازه‌گیری شده در مقابل احتمال تجمعی آن‌هاست. براساس پژوهش انجام شده در سال ۱۹۹۵ استفاده از تحلیل آماری فوق، اطلاعات ارزشمند و با کیفیتی را از توانایی پیش‌بینی و همبستگی تجربی به ما ارائه می‌دهد.^[۲۲]

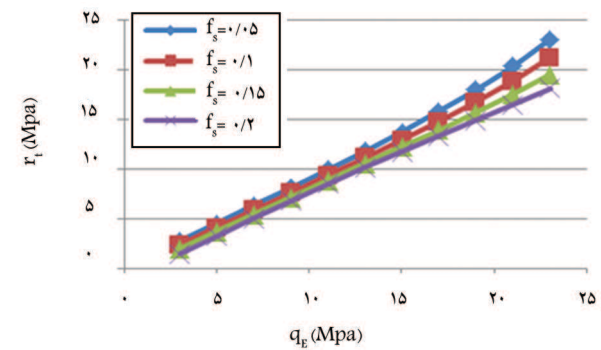


شکل ۵. ساختار بهینه شده GMDH برای مقاومت واحد نوک شمع.



شکل ۶. مقایسه‌ی مقادیر اندازه‌گیری شده واحد نیروی نوک شمع (بر حسب مگاپاسکال) با مقادیر پیش‌بینی شده توسط مدل GMDH.

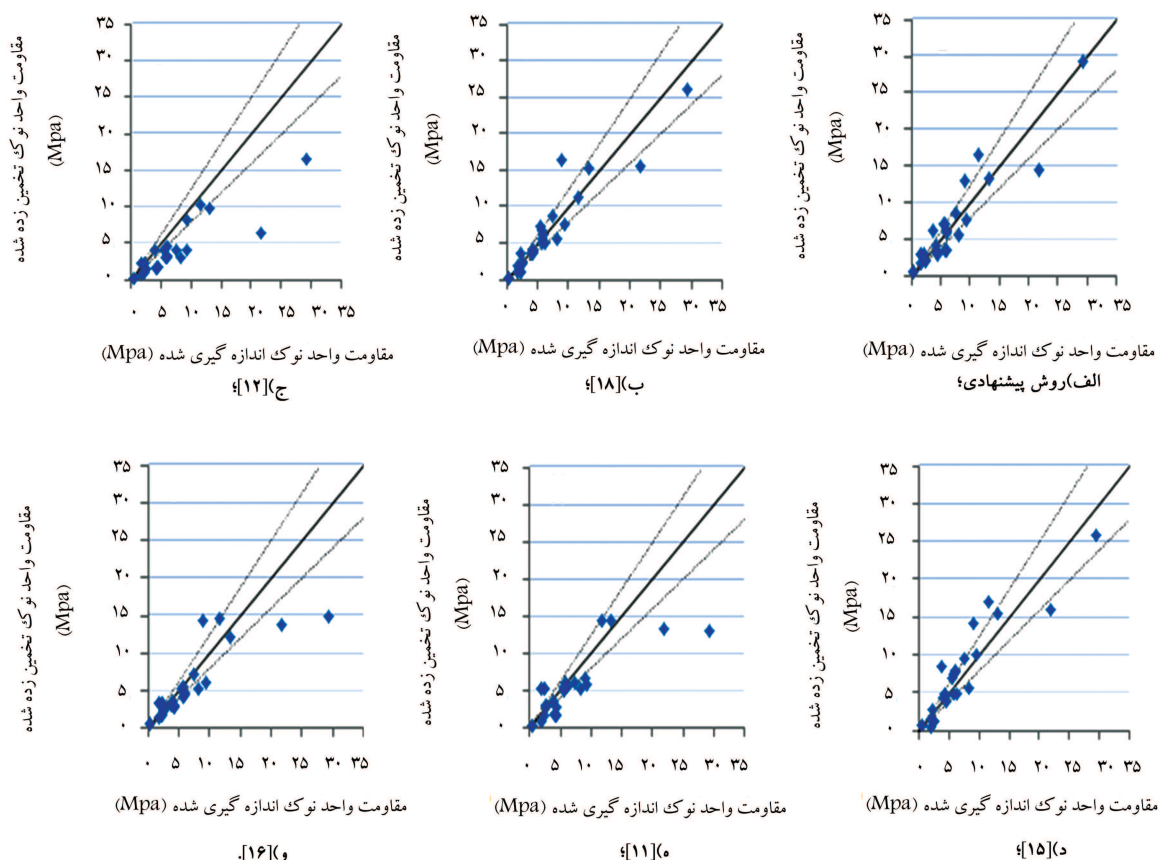
آنالیز حساسیت مدل پیشنهادی
آنالیزی که رابطه‌ی ظرفیت باربری پیشنهادی به صورت یک معادله‌ی پیچیده‌ی چندجمله‌ای است، تأثیرات پارامترهای ورودی (q_E و f_s) روی خروجی مدل (r_t) به خوبی واضح و مشخص نیست. آنالیز حساسیت مدل به منظور نشان دادن تأثیرات فوق است. نتایج تحلیل‌های حساسیت انجام شده در شکل ۷ نشان داده شده است.



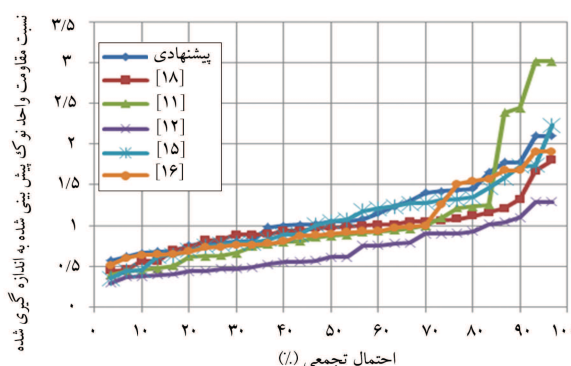
شکل ۷. نتایج بدست آمده از آنالیز حساسیت مدل ساخته شده برای واحد مقاومت نوک.

جدول ۳. مقایسه‌ی ضریب همبستگی و ریشه‌ی میانگین مربعات خطای در روش‌های مختلف.

Schmertmann & Nottingham, (1978)	Mayerhof, (1983)	Bustamante & GIANESELLI, (1982)	De Ruiter & Beringen, (1979)	Eslami & Fellenius, (1997)	روش پیشنهادی
۰,۸۴۸	۰,۹۲۷	۰,۷۶۴	۰,۸۰۹	۰,۹۴۳	۰,۹۳۸
۲,۴۳۸	۲,۳۸	۴,۲۸۲	۲,۸۵۷	۲,۰۹۹	۲,۱۹۷
۱,۰۲۶	۱,۰۶۶	۰,۸۹	۱,۰۶۷	۰,۹۶۹	۱,۱۴



شکل ۸. مقاومت واحد نوک تخمین زده شده در مقابل اندازه‌گیری شده.



شکل ۹. نمودار احتمال تجمعی $r_{t,e}/r_{t,m}$ برای روش‌های مختلف.

مقدار واقعی و روش دی روپترو برینگن^[11] در بعضی موارد به تخمین زیادتر (حتی ۳ برابر در بعضی موارد) تمايل دارد. ارائه خط با شبکه کمتر و همچنین پراکندگی کمتر توسط روش یونیکون^[18] و همچنین مایرهوف^[15-۱۳] گویای نتیجه‌ی بهتر و پیش‌بینی دقیق تر از سایر روش‌هاست.

نتیجه‌گیری
در این تحقیق از شبکه‌ی عصبی نوع GMDH بهینه‌شده با الگوریتم ژنتیک برای مدل‌سازی ریاضی و نشان‌دادن وابستگی پارامترها استفاده شده و همچنین تلاش بر

بنابراین، برای مجموعه‌ی از اطلاعات، نسبت واحد مقاومت نوک تخمین زده شده به اندازه‌گیری شده ($(r_t(e)/r_t(m))$) را به صورت صعودی و شماره‌گذاری شده ($i, 1, 2, 3, \dots, n$) مرتب می‌کنیم، همچنین مقدار احتمال تجمعی (p) را برای هر واحد مقاومت شمع طبق معادله ۱۹ به دست می‌آوریم:

$$p = \frac{i}{n+1} \quad (19)$$

که در آن، n شماره‌ی مقدار در نظر گرفته شده p است. این روش در ارزیابی پراکندگی روش پیش‌بینی کننده حاوی اطلاعات ارزشمندی است:

۱. نسبت تخمین زده شده به اندازه‌گیری شده در احتمال $\% 50 = p$ تمايل روش را به تخمین کم یا زياد واحد مقاومت نوک شمع نشان می‌دهد. هر چه اين مقدار به ۱ نزديک تر باشد، پیش‌بینی بهتری را انجام داده است.
۲. توزيع لوگ نرمال در امتياز يك خط راست قرار بگيرد.
۳. شبکه خط بيان‌گر پراکندگی و انحراف استاندارد است. هر چه خط با شبکه کمتر باشد، نتیجه‌ی بهتری را نشان می‌دهد.

در شکل ۹، نمودار واحد مقاومت نوک تخمین زده شده به اندازه‌گیری شده مقابل احتمال تجمعی برای روش‌های مختلف ترسیم شده‌اند. برای احتمال $\% 50$ روش پیشنهادی و مایرهوف بسیار به ۱ نزدیک هستند. همان‌گونه که از این شکل مشخص است، روش بوستامانه و جیانسلی^[12] تمايل به تخمین پايان‌تر از

فوق نشان می‌دهد که تأثیر پارامتر q_E از f_s بیشتر است. با درنظرگرفتن q_E ثابت و با کم شدن مقدار f_s مقدار مقاومت واحد نوک شمع افزایش می‌یابد. از تحلیل‌های آماری و احتمال تجمعی برای مقایسه روش‌های مستقیم CPT در تعیین واحد مقاومت نوک و روش پیشنهادی نشان داده شده است. مقدار میانگین، ضریب همبستگی (r^2)، جذر میانگین مربعات خطای (RMSE) برای ارزیابی کمیتی روش‌های مختلف استفاده شده است. مقایسه نشان می‌دهد که روش بوسیماته و جیانسلی^[۱۲] با میانگین ۰/۶۹ میل به پیش‌بینی و تخمین کم دارد و در مقابل روش پیشنهادی با میانگین ۱/۱۴ میل به تخمین بیشتر از مقدار واقعی دارد. نتایج حاصله نشان دادند که روش پیشنهادی ظرفیت باربری نوک شمع‌ها را با دقیق مناسب و پراکنده‌ی کمی تخمین می‌زند.

آن بوده است که با استفاده از روش محاسباتی پیشرفت ارتباط بین q_E و f_s را تولید کنیم. برای مدل سازی از ۲ پارامتر q_E و f_s پارامترهای ورودی و r_t خروجی شبکه است. ۴B در بالا و پایین نوک شمع به میزانهای محدوده‌ی مؤثر در نظرگرفته شده است. مجموعه‌ی از نمونه‌های موردی مشتمل بر ۲۹ آزمون بارگذاری تمام مقیاس شمع جمع‌آوری شده است. آنالیز حساسیت برای نشان دادن تأثیرات پارامترهای ورودی در مدل خروجی والته در محدوده‌ی $(28, 84) - (36, 25)$ میل برای $q_E = 0, 10 - 20$ در مکاپسکال) صورت گرفت. هر چند که داده‌ها طیف وسیعی از محدوده‌های مقاومتی خاک را شامل می‌شوند، ولی بدینهی است درنظرگرفتن محدوده‌ی خارج از داده‌های آموزش ممکن است به تولید تابعی متفاوت منجر شود، البته با تغییرهای ورودی در محدوده‌ی ذکر شده، مدلی تقریباً دقیق مستحصله می‌شود. آنالیز حساسیت مدل

پژوهش‌ها

1. cone penetration test (CPT)
2. group method of data handling (GMDH)
3. multiple-regression
4. singularity
5. singular value decomposition (SVD)
6. conventional structure

منابع (References)

1. Shahin, M.A., Jaksa, M.B. and Maier, H.R. "Artificial neural network application in geotechnical engineering", *Aust. Geomech.*, **36**(1), pp. 49-62 (March 2001).
2. Shahin, M.A., Jaksa, M.B. and Maier, H.R. "State of the art of artificial neural networks in geotechnical engineering", *Electron J. Geotech. Eng.*, **8**, pp. 1-26 (2008).
3. Ardalan, H., Eslami, A. and Nariman-Zadeh, N. "Piles shaft capacity from CPT and CPTu data by polynomial neural networks and genetic algorithms", *Computers and Geotechnics*, **36**(4), pp. 616-625 (2009).
4. Ivakhnenko, A.G. "Polynomial theory of complex systems", *IEEE Trans. Syst. Man. Cybern. SMC-1*, **4**, pp. 364-78 (1971).
5. Farlow, S.J., *Self-Organizing Method in Modelling: GMDH Type Algorithm*, Marcel Dekker Inc. (1984).
6. Iba, H., DeGaris, H. and Sato, T. "A numerical approach to genetic programming for system identification", *Evol. Comput.*, **3**(4), pp. 417-452 (1996).
7. Mueller, J.A. and Lemke, F., *Self-Organising Data Mining: An Intelligent Approach to Extract Knowledge from Data*, Hamburg, Pub. Libri (2000).
8. Nariman-Zadeh, N., Darvizeh, A., Darvizeh, M. and Gharababaei, H. "Modelling of explosive cutting process of plates using GMDH-type neural network and singular value decomposition", *J. Mater Process Technol*, **128**(1), pp. 80-87 (2002).
9. Nariman-Zadeh, N., Darvizeh, A. and Ahmad-Zadeh, G.R. "Hybrid genetic design of GMDH-type neural networks using singular value decomposition for modelling and prediction of the explosive cutting process", *Proc. I MECH E Part B J. Eng. Manufact.*, **217**, pp. 779-790 (2003).
10. Atashkari, K., Nariman-Zadeh, N., Gölcü, M., Khalkhali, A. and Jamali, A. "Modelling and multi-objective optimization of a variable valve-timing spark-ignition engine using polynomial neural networks and evolutionary algorithms", *Energ. Convers. Manage.*, **48**(3), pp. 1029-1041 (2007).
11. DeRuiter, J. and Beringen, F.L. "Pile foundation for large North Sea structures", *Mar Geotechnol*, **3**(3), pp. 267-314 (1979).
12. Bustamante, M. and Gianeselli, L. "Pile bearing capacity prediction by means of static penetrometer CPT, In: Proceedings of the second European symposium on penetration testing ESOPT-2, Amsterdam, A.A. Balkema **2**, pp. 493-500 (May 1982).
13. Mayerhof, G.G. "Penetration tests and bearing capacity of cohesionless soils", *Journal of the Soil Mechanics and Foundation Engineering Division, ASCE*, **82**(1), pp. 1-19 (1956).
14. Mayerhof, G.G. "Bearing capacity and settlement of pile foundations. The Eleventh Terzaghi Lecture", *Journal of the Geotechnical Engineering Division, ASCE*, **102**(GT3), pp. 195-228 (1976).
15. Mayerhof, G.G. "Scale effects of pile capacity", *Journal of the Geotechnical Engineering Division, ASCE*, **108**(GT3), pp. 95-228 (1983).
16. Schmertmann, J.H. "Guidelines for cone test, performance and design", Federal Highway Administration, Report FHWA-TS-78209, Washington, 145 p. (1978).
17. Nottingham, L.C. "Use of quasi-static friction cone electrometer data to estimate capacity of displacement piles", PhD thesis, Department of Civil Engineering, University of Florida, Gainesville (1975).

18. Eslami, A. and Fellenius, B.H. "Pile capacity by direct CPT and CPTu methods applied to 102 case histories", *Can. Geotech. J.*, **34**(6), pp. 886-904 (1997).
19. Fellenius, B.H., Eslami, A. and Infante, J.A., *UniCone User Manual*, Unisoft LTD, Canada (2002).
20. Mayerhof, G.G. "The ultimate bearing capacity of foundations", *Geotechnique*, **2** (4), pp. 301-332 (1951).
21. De Beer, E.E. "The scale effect in the transposition of the results of deep sounding tests on the ultimate bearing capacity of piles and caisson foundations", *Geotechnique*, **13** (1), p.p. 39-75 (1963).
22. Schmertmann, J.H. "Guidelines for cone penetration test, performance and design", Federal Highway Administration, Report FHWA-TS-78-209, p.145 (1978).
23. Nottingham, L.C. "Use of quasi-static friction cone penetrometer data to predict load capacity of displacement piles", Ph.D. dissertation, Dept. of Civil Eng., University of Florida (1975).
24. Altaee, A., Fellenius, B.H. and Evgin, E. "Axial Load transfer for piles in sand.i", *Tests on an Instrumented Precast Pile, Canadian Geotechnical Journal*, **29**(1), pp. 11-20 (1992a).
25. Altaee, A., Evgin, E. and Fellenius, B.H. "Axial load transfer for piles in sand.ii.", *Numerical Analysis. Canadian Geotechnical Journal*, **29**(1), pp. 21-30 (1992b).
26. Golub, G.H. and Reinesh, C. "singular value decomposition and least squares solutions", *Numer. Math.*, **14**(5), pp. 403-420 (1970).
27. Yao, X. "Evolving artificial neural networks", *Proceedings of IEEE*, **87**(9), pp. 1423-1447 (1999).
28. Finno, R.J. "Subsurface conditions and pile installation data", *American Society of Civil Engineers, In Proceedings of a Symposium on Predicted and Observed Behavior of Piles, Evanston, Ill.*, (June 30 1989).American Society of Civil Engineers, Geotechnical Special Publication 23, pp. 1-74 (1989).
29. Fellenius, B.H., Santos, J.A. and viana da Fonseca, A. "Analysis of piles in a residual soil-The ISc'2 prediction", *Can. Geotech. J.*, **44**(2), pp. 201-220 (2007).
30. Brown, M.J., Hyde, A.F.L. and Anderson, W.F. "Analysis of a rapid load test on an instrumented bored pile in clay", *Geotechnique*, **56**(9), pp. 627-638 (2006).
31. Campanella, R.G., Robertson, P.K., Davies, M.P. and Sy, A. "Use of in-situ tests in pile design", *In Proceedings of 12th Int. Conference on Soil Mechanics and Foundation Engineering, ICSMFE*, Rio de Janeiro, **1**, pp. 199-203 (August 1989).
32. Albeiro, J.H., Sacilotto, A.C., Mantilla, J.N., Telxeria, J. and Carvalho, D., "Successive load tests on bored piles", *In Proceedings of the 10th pan-American Conference on Soil Mechanics and Foundation Engineering*, Mexico City, **2**, pp. 992-1002 (October-November 1995).
33. O'Neill, M.W., *Field Study of Pile Group Action. U.S. Federal Highway Administration*, FHWA Report RD-81/002 (1981).
34. Yen, T.L., Chin, C.T. and Wang, R.F. "Interpretation of instrumented driven steel pipe piles", *In Kulhawy FH, editor. ASCE Proceedings of the Foundation Engineering Congress, Current Principles and Practice*, Evanston, Ill, Geotechnical Special Publication 22, American Society of Civil Engineers, pp. 1293-308 (June 1989).
35. O'Neill, M.W., "Pile group prediction symposium. Summary of prediction results", Federal Highway Administration, FHWA, Draft Report, 51p. (1988).
36. Axelsson, G. "Long-term increase in shaft capacity of non-cohesive soils", Thesis, Royal Institute of Technology, Division of Soil and Rock Mechanics, Stockholm, 122 p. (1998).
37. CH2M HILL., Geotechnical Report on Indicator Pile Testing and Static Pile Testing. Berths 225-229 at Port of Los Angeles, CH2M Hill, Los Angeles (1987).
38. Matsumoto, T., Michi, Y. and Hirono, T. "Performance of axially loaded steel pipe piles driven in a soft rock", *Journal of Geotechnical Engineering, ASCE*, **121**(4), pp. 305-315 (1995).
39. Weber, L. "Efficiency improvement of steel H-bearing piles", Arbed Research, Final Report 7210.SA/503 (1987).
40. Haustorfer, I.J. and Plesiotis, S. "Instrumented dynamic and static pile load testing at two bridges", *In: Proceedings of the 5th Australia-New Zealand Conference on Geomechanics*, prediction versus performance, Sydney, (August 1988).
41. Hunt, S.W. "Piles for marquette university math building", *In Proceedings of the ASCE Convention on Design and Performance of Deep Foundations*, Dallas, Tex. American Society of civil Engineers, Geotechnical Special Publication 38, pp. 91-108 (1993).
42. Fellenius, B.H., *Foundations. In Geotechnical Engineering Handbook*, Chapter 22, Edited by W.F. Chen. CRC Press, New York, pp. 817-853 (1995).
43. Long, J.H. and Shimel, I.S. "Drilled shafts, a data-base approach", *In ASCE Proceedings of the Foundation Engineering Congress: Current Principles and Practices*, Evanston, Ill, (June 25-29 1989). In: Kulhawy FH, editor. Geotechnical special publication 22, 2, American Society of Civil Engineers, pp. 1091-1108 (1989).

ESTIMATION OF THE TIP BEARING CAPACITY OF SINGLE PILE FROM CPTU DATA USING GMDH TYPE NEURAL NETWORKS

A. Ghorbani^(corresponding author)

ghorbani@guilan.ac.ir

Dept. of Civil Engineering

University of Guilan

A. Eslami

afeslami@yahoo.com

Dept. of Civil Engineering

Amirkabir University of Technology

H. Ebrahimi

hassan.ebrahimi@gmail.com

Dept. of Civil Engineering

University of Guilan

Sharif Civil Engineering Journal

Volume 29, Issue 3, Page 71-80, Original Article

© Sharif University of Technology

- Received 9 August 2011; received in revised form 20 December 2011; accepted 30 April 2012.

Abstract

Piles have been used for many years as a type of structural foundation. The design of pile foundations and estimation of static pile bearing capacities, based on measured soil properties, have been improved considerably over the years. However, due to inherent soil uncertainties and disturbances, there is always an element of uncertainty about the design capacity. Therefore, most theoretical approaches have been mainly based on simplifications and assumptions. The cone penetration test (CPT) is considered as one of the most useful in situ tests for the characterization of soil. Due to the similarity between the cone and the pile, determination of the pile capacity from CPT data is among its earliest applications. The measured cone resistance (q_c) and sleeve friction (f_s) usually are employed for estimation of the pile Tip and shaft resistances, respectively. Over the last few years or so, the use of artificial neural networks (ANNs) has increased in many areas of engineering. In particular, ANNs have been applied to many geotechnical engineering problems and have demonstrated some degree of success. Group method of data handling (GMDH) type neural networks optimized using genetic algorithms (GAs), are used to model the effects of effective cone Tip resistance (q_E) and cone sleeve friction (f_s) as input parameters on pile Tip resistance, by applying some experimentally obtained training and test data. 29 pile case histories have been compiled, including static and dynamic loading tests, performed at sites, including CPT

sounding. The pile embedment lengths range from 9 m through 31 m. The pile Tip resistances range from 0.4 MPa through 29.4 MPa. A sensitivity analysis of the obtained model has been carried out to study the influence of input parameters on model output. According to the sensitivity analysis results, the pile Tip resistance (r_t) is considerably influenced by the effective cone Tip resistance (q_E), and the value rises by increasing q_E values. Also, for a constant value of effective cone Tip resistance (q_E), by decreasing the cone sleeve friction (f_s), the pile Tip resistance increases. Pile toe capacities calculated by the proposed method are compared Tip capacities calculated by five other direct methods. The proposed method gives values that are more consistent and closer to measured ones than current methods. The results demonstrate that the proposed method gives values that are consistent and close to the measured ones.

Key Words: Pile bearing capacity, cone penetration test, artificial neural networks.